

特征

- 双极性模拟输入范围：±10V、±5V
- 5V 模拟电源，2.3V 至 5V 数字接口电源
- 8 通道同步采样输入
- 完全集成的数据采集解决方案
 - 模拟输入钳位保护
 - 具有 1MΩ 模拟输入阻抗的输入缓冲器
 - 二阶抗混叠模拟滤波器
 - 片内精密基准电压及缓冲
 - 16 位、200kSPS ADC (所有通道)
 - 通过数字滤波器提供过采样功能
- 灵活的并行/串行接口
 - SPI/QSPI/MICROWIRE/DSP 兼容
- 性能
 - 模拟输入 ESD 可达 8kV
 - 92dB SNR(No OS), -105dB THD
 - ±1 LSB INL, ±0.9 LSB DNL
 - 低功耗：运行 131.5mW, 待机 28.9mW
- LQFP64 10mm × 10mm 封装

应用

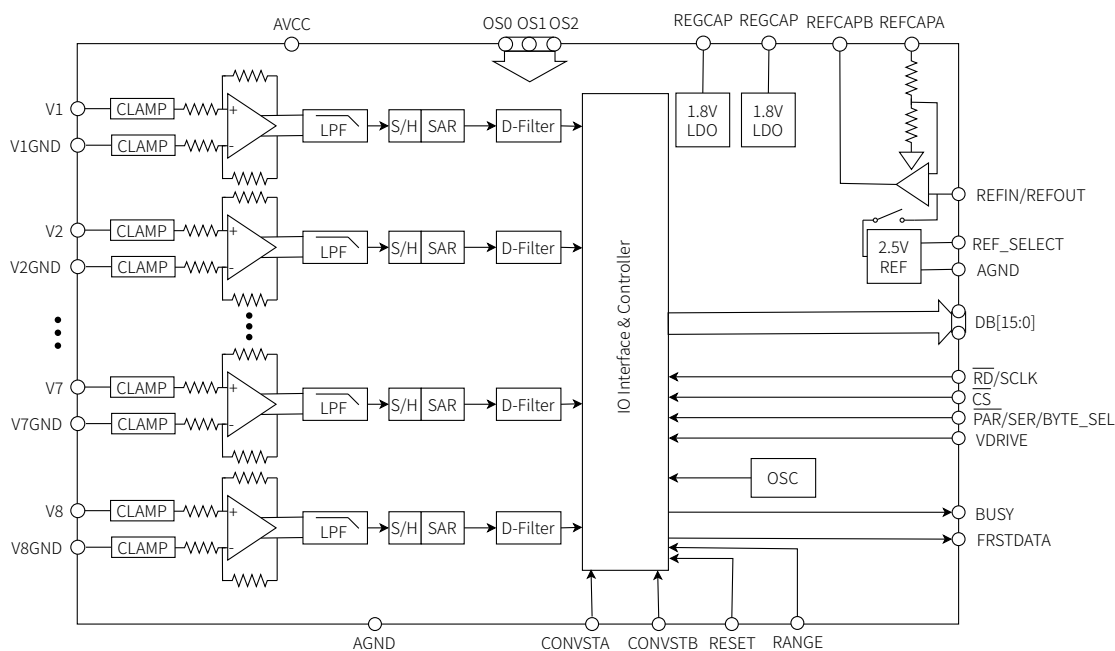
- 数据采集系统
- 电力线监控和保护系统
- 多轴定位系统
- 多相电机系统
- 仪表和控制系统

概述

CM2248 是一款 16 位、8 通道同步采样模拟数据采集系统 (DAS)。各通道均内置模拟输入钳位保护、二阶抗混叠滤波器、跟踪保持放大器、16 位 SAR ADC，内置了灵活的数字滤波器、2.5V 基准电压源、基准电压缓冲以及高速串行和并行接口。

CM2248 采用 5V 单电源供电，可以处理 ±10V、±5V 真双极性输入信号，同时所有通道均能以高达 200kSPS 的吞吐速率采样。在各种采样频率工作下，输入钳位保护电路可以承受高达 ±18.5V 的电压。1MΩ 的高输入阻抗以及片内滤波器，可以极大简化外围电路设计。

架构图



目录

封页.....	1	钳位保护.....	21
特征.....	1	抗混叠滤波器.....	21
应用.....	1	采样保持放大器.....	22
概述.....	1	内部/外部基准.....	22
架构框图.....	1	多芯片并联外部基准电压模式.....	22
文档历史.....	3	多芯片并联内部基准电压模式.....	23
管脚配置和功能.....	4	ADC 传递函数.....	23
管脚配置.....	4	功能与模式.....	24
管脚功能.....	4	功耗模式.....	24
绝对最大额定值.....	9	转换控制.....	24
电气规格.....	10	数字接口.....	25
时序规格.....	12	并行接口.....	25
通用时序规格.....	12	串行接口.....	25
FRSTDATA 时序规格.....	13	并行字节接口.....	25
并行模式时序规格.....	13	应用.....	26
串行模式时序规格.....	15	典型连接.....	26
典型特征.....	17	封装及订购信息.....	27
工作原理.....	21	封装方式.....	27
模拟输入.....	21	产品外形图.....	27
输入范围.....	21	订购信息.....	28
输入阻抗.....	21		

文档历史

下表中列举了本文档自产品发布后的所有更新。

文档版本	修订日期	内容描述
V1.0	2023-11-27	第一次正式发布

管脚配置和功能

管脚配置

以下为 CM2248 LQFP64 封装管脚示意图：

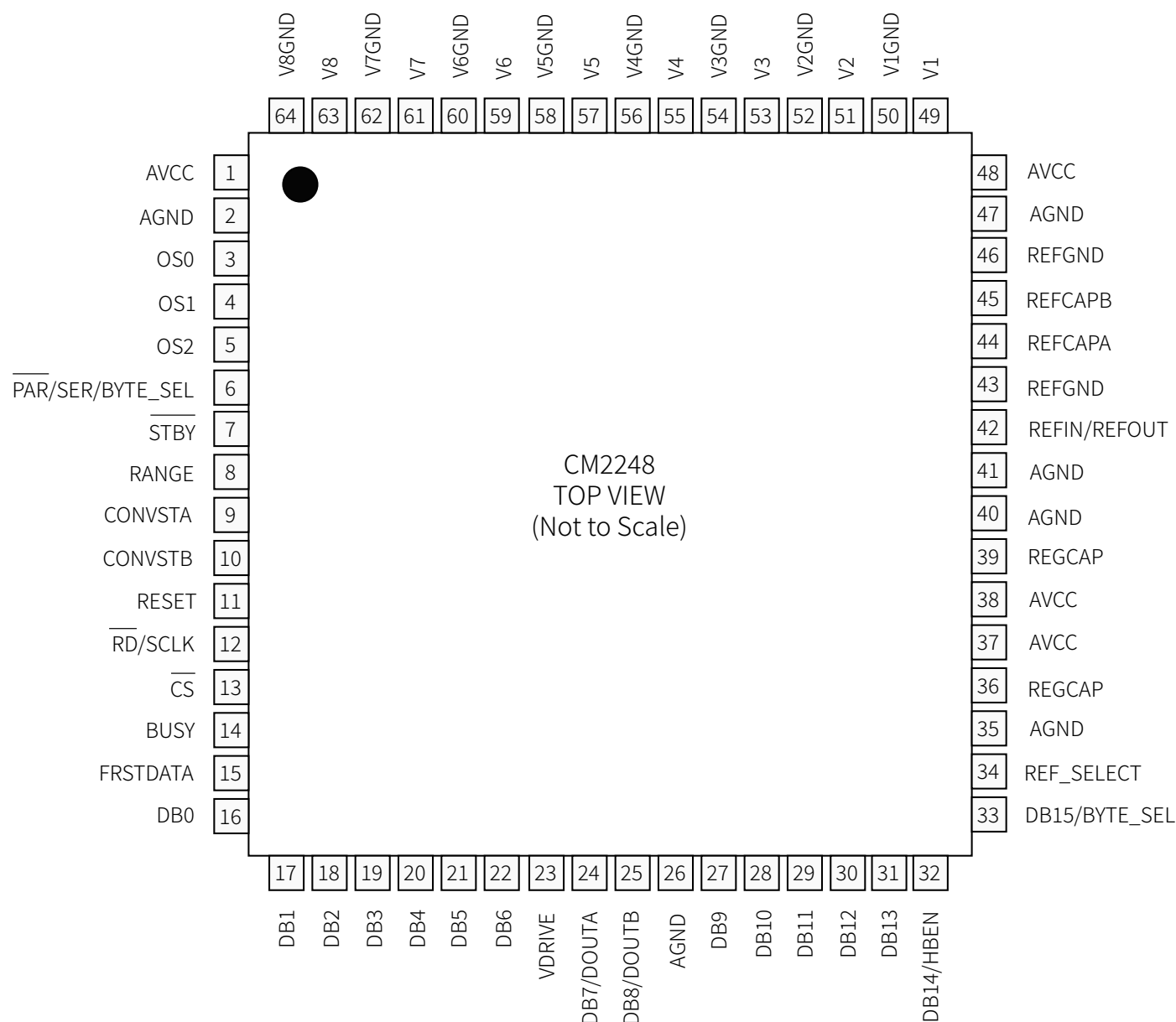


图 1 管脚示意图

管脚功能

表 1 管脚功能描述

编号	名称	类型	说明
1	AVCC	PWR	模拟电源电压，该管脚和 AGND 之间按要求添加去耦电容。
2	AGND	GND	模拟地。这些管脚是 CM2248 所有模拟电路的接地基准点，所有模拟输入信号和外部基准信号都应该参考这些管脚。所有 6 个 AGND 管脚都应连到系统的 AGND 平面。

编号	名称	类型	说明
3	OS0	DI	过采样模式管脚，这些输入用来选择过采样倍率。OS2 为 MSB 控制位，OS0 为 LSB 控制位。
4	OS1		
5	OS2		
6	$\overline{\text{PAR}}/\text{SER}/\text{BYTE_SEL}$	DI	与 DB15/BYTE_SEL 管脚共同决定数字接口模式。如果此管脚接逻辑低电平，则选择并行接口。如果此管脚接逻辑高电平并且 DB15/BYTE_SEL 接逻辑低电平，则选择串行接口。如果此管脚与 DB15/BYTE_SEL 管脚都接高电平，则选择并行字节模式。
7	$\overline{\text{STBY}}$	DI	待机模式输入。此管脚用来让 CM2248 进入两种低功耗模式之一：待机模式或关断模式。RANGE 管脚状态则决定进入具体某种低功耗模式。待机模式下，除片内基准电压、稳压器和稳压器缓冲外的所有其他电路均关断。关断模式下，所有电路均关断。
8	RANGE	DI	模拟输入范围选择。此管脚的极性决定模拟输入通道的输入范围。如果此管脚与逻辑高电平相连，则所有通道的模拟输入范围为 $\pm 10\text{V}$ 。如果此管脚与逻辑低电平相连，则所有通道的模拟输入范围为 $\pm 5\text{V}$ 。此管脚的逻辑状态改变会立即影响模拟输入范围，对于快速吞吐速率应用，转换期间建议不要更改此管脚的逻辑状态。
9	CONVSTA	DI	转换开始控制信号。V1、V2、V3、V4 由 CONVSTA 启动同步采样，V5、V6、V7、V8 由 CONVSTB 启动同步采样。如果要对所有输入通道同时采样，可以将 CONVSTA 和 CONVSTB 短接在一起，并施加一个转换开始信号。
10	CONVSTB		
11	RESET	DI	该管脚输入逻辑高电平将芯片复位，进行中的转换将中断，输出寄存器的内容将复位至全 0。
12	$\overline{\text{RD}}/\text{SCLK}$	DI	并行接口模式下，该管脚为并行数据读取控制输入($\overline{\text{RD}}$)；串行接口模式下，该管脚为串行时钟输入(SCLK)。
13	$\overline{\text{CS}}$	DI	片选。此管脚处于逻辑低电平将使能数据帧传输。
14	BUSY	DI	转换指示信号。CONVSTA 和 CONVSTB 均达到高电平后，此管脚变为逻辑高电平，表示转换过程已经开始。BUSY 输出将保持高电平，直到所有通道的转换过程完成为止。BUSY 信号的下降沿将转换数据锁存至输出数据寄存器。当 BUSY 信号为高电平时，CONVSTA 或 CONVSTB 管脚的上升沿信号将不起作用。
15	FRSTDATA	DO	FRSTDATA 指示第一通道 V1 的数据可以通过数字接口回读。当 $\overline{\text{CS}}$ 输入为高电平时，FRSTDATA 输出管脚处于三态。 $\overline{\text{CS}}$ 下降沿使 FRSTDATA 脱离三态。在并行模式下，与 V1 结果对应的 $\overline{\text{RD}}$ 下降沿将 FRSTDATA 管脚设为高电平，在下一个 $\overline{\text{RD}}$ 下降沿之后，FRSTDATA 输出恢复逻辑低电平。在串行模式下，FRSTDATA 在 $\overline{\text{CS}}$ 下降沿变为高电平，此时将在 DOUTA 上输出 V1 的 MSB。在 $\overline{\text{CS}}$ 下降沿之后的第 16 个 SCLK 下降沿，FRSTDATA 恢复低电平。

编号	名称	类型	说明
16~22	DB0 到 DB6	DO	并行输出数据位 DB0 到 DB6。当 $\overline{\text{PAR}}/\text{SER}/\text{BYTE_SEL}$ 为逻辑低电平时，这些管脚充当并行数字输入/输出管脚。当 $\overline{\text{PAR}}/\text{SER}/\text{BYTE_SEL}$ 为逻辑高电平时，这些管脚应连接至 AGND。当工作在并行字节接口模式时，DB[7:0] 通过 2 个 RD 操作输出 16 位转换结果。DB7(管脚 24) 为 MSB，DB0 为 LSB。
23	VDRIVE	PWR	逻辑电源输入。此管脚的电源电压 (2.3V 至 5.25V) 决定逻辑接口的工作电压。此管脚的标称电源应与控制器 (DSP 或 FPGA) 接口电源相同。
24	DB7/DOUTA	DO	并行输出数据位 DB7 或串行接口数据输出管脚 DOUTA。
25	DB8/DOUTB	DO	并行输出数据位 DB8 或串行接口数据输出管脚 DOUTB。
26	AGND	GND	模拟地
27~31	DB9 到 DB13	DO	并行输出数据位 DB9 至 DB13。当 $\overline{\text{PAR}}/\text{SER}/\text{BYTE_SEL}$ 为逻辑低电平时，这些管脚充当并行数字输出管脚。当 $\overline{\text{PAR}}/\text{SER}/\text{BYTE_SEL}$ 为逻辑高电平时，这些管脚应连接至 AGND。
32	DB14/HBEN	DI/O	当 $\overline{\text{PAR}}/\text{SER}/\text{BYTE_SEL}$ 为逻辑低电平时，此管脚充当并行数字输出管脚。当 $\overline{\text{PAR}}/\text{SER}/\text{BYTE_SEL}$ 为高电平时，该管脚应连接至 AGND。当 $\overline{\text{PAR}}/\text{SER}/\text{BYTE_SEL} = 1$ 且 DB15/BYTE_SEL = 1 时，CM2248 工作在并行字节接口模式。在该模式下，HBEN 管脚用来选择是首先输出转换结果的高字节 (MSB) 还是低字节 (LSB)。当 HBEN = 1 时，首先输出 MSB，然后输出 LSB。当 HBEN = 0 时，首先输出 LSB，然后输出 MSB。
33	DB15/BYTE_SEL	DI/O	当 $\overline{\text{PAR}}/\text{SER}/\text{BYTE_SEL}$ 为逻辑低电平时，此管脚充当并行数字输出管脚。当 $\overline{\text{PAR}}/\text{SER}/\text{BYTE_SEL}$ 为逻辑高电平时，BYTE_SEL 管脚用来在串行接口模式与并行字节接口模式之间做出选择。当 $\overline{\text{PAR}}/\text{SER}/\text{BYTE_SEL} = 1$ 且 BYTE_SEL = 0 时，CM2248 工作在串行接口模式。 当 $\overline{\text{PAR}}/\text{SER}/\text{BYTE_SEL} = 1$ 且 BYTE_SEL = 1 时，CM2248 工作在并行字节接口模式。
34	REF_SELECT	DI	内部/外部基准电压选择输入。如果 REF_SELECT 为逻辑高电平，则选择并使能内部基准电压。如果此管脚为逻辑低电平，则必须将外部基准电压施加在 REFIN/REFOUT 管脚。
35	AGND	GND	模拟地
36,39	REGCAP	PWR	内部稳压器电压输出。应分别将这两个输出管脚与 AGND 之间连接一个 1 μF 去耦电容。这些管脚上的电压在 1.9V 左右。
37,38	AVCC	PWR	模拟电源电压。通过 100nF 与 10 μF 的并联去耦电容连接至 AGND。
40,41,47	AGND	GND	模拟地

编号	名称	类型	说明
42	REFIN/REFOUT	A	基准电压输入 (REFIN) /基准电压输出 (REFOUT) 。如果 REF_SELECT 管脚为逻辑高电平, 此管脚将提供 2.5V 片内基准电压供外部使用。如果 REF_SELECT 管脚设置为逻辑低电平, 需要将 2.5V 外部基准电压施加到此输入端。无论使用内部还是外部基准电压, 都需要在该管脚与 REFGND 之间连接一个 10 μ F 电容。
43,46	REFGND	GND	基准电压接地管脚。这些管脚应连接至 AGND。
44	REFCAPA	A	基准电压缓冲器输出管脚。必须将 REFCAPA 和 REFCAPB 连接在一起, 并通过低有效串联电阻 (ESR) 的 10 μ F 陶瓷电容将此管脚连接至 AGND, 这些管脚上的电压通常为 4V。
45	REFCAPB	A	参见 REFCAPA。
48	AVCC	PWR	模拟电源电压。通过 100nF 与 10 μ F 的并联去耦电容连接至 AGND。
49	V1	AI	模拟输入管脚。此管脚为单端模拟输入, 它的模拟输入范围由 RANGE 管脚决定。
50	V1GND	GND	模拟输入接地管脚。所有模拟输入接地管脚都应当连接至系统 AGND 平面。
51	V2	AI	模拟输入管脚。此管脚为单端模拟输入, 它的模拟输入范围由 RANGE 管脚决定。
52	V2GND	GND	模拟输入接地管脚。所有模拟输入接地管脚都应当连接至系统 AGND 平面。
53	V3	AI	模拟输入管脚。此管脚为单端模拟输入, 它的模拟输入范围由 RANGE 管脚决定。
54	V3GND	GND	模拟输入接地管脚。所有模拟输入接地管脚都应当连接至系统 AGND 平面。
55	V4	AI	模拟输入管脚。此管脚为单端模拟输入, 它的模拟输入范围由 RANGE 管脚决定。
56	V4GND	GND	模拟输入接地管脚。所有模拟输入接地管脚都应当连接至系统 AGND 平面。
57	V5	AI	模拟输入管脚。此管脚为单端模拟输入, 它的模拟输入范围由 RANGE 管脚决定。
58	V5GND	GND	模拟输入接地管脚。所有模拟输入接地管脚都应当连接至系统 AGND 平面。
59	V6	AI	模拟输入管脚。此管脚为单端模拟输入, 它的模拟输入范围由 RANGE 管脚决定。
60	V6GND	GND	模拟输入接地管脚。所有模拟输入接地管脚都应当连接至系统 AGND 平面。
61	V7	AI	模拟输入管脚。此管脚为单端模拟输入, 它的模拟输入范围由 RANGE 管脚决定。

编号	名称	类型	说明
62	V7GND	GND	模拟输入接地管脚。所有模拟输入接地管脚都应当连接至系统AGND平面。
63	V8	AI	模拟输入管脚。此管脚为单端模拟输入，它的模拟输入范围由RANGE管脚决定。
64	V8GND	GND	模拟输入接地管脚。所有模拟输入接地管脚都应当连接至系统AGND平面。

绝对最大额定值

参数		最小值	最大值	单位
温度				
工作温度		-40	+125	°C
存储温度		-65	+150	°C
结温			+150	°C
回流焊	铅锡焊接温度 (10 秒到 30 秒)		+240	°C
	无铅焊接温度		+260	°C
耐压				
AVCC 至 AGND		-0.3	+7	V
VDRIVE 至 AGND		-0.3	AVCC+0.3	V
模拟输入至 AGND		-18.5	+18.5	V
数字输入至 AGND		-0.3	VDRIVE+0.3	V
数字输出至 AGND		-0.3	VDRIVE+0.3	V
REFIN 至 AGND		-0.3	AVCC+0.3	V
模拟输入电流		-10	+10	mA
ESD				
HBM	除模拟输入外的所有管脚	3000		V
	仅模拟输入管脚	8000		V

电气规格

默认条件： $V_{REF} = 2.5V$ 外部/内部基准电压， $AVCC = 4.75V$ 至 $5.25V$ ， $VDRIVE = 1.7V$ 至 $5.25V$ ， $f_{SAMPLE} = 200kSPS$ ， $TA = -40^{\circ}C$ 至 $+125^{\circ}C$

参数	测试条件	最小值	典型值	最大值	单位
动态性能					
SNR	±10V 单端	90	92		dB
	±5V 单端		91.4		dB
	OS = 16, ±5V 单端, $f_{IN} = 130Hz$		93.5		dB
	OS = 16, ±10V 单端, $f_{IN} = 130Hz$		94.3		dB
SINAD	±10V 单端	89.5	92		dB
	±5V 单端		91		dB
SFDR	±10V 单端	100	106		dB
THD	±10V 单端		-105	-96	dB
IMD	$f_a = 1kHz$, $f_b = 1.1kHz$, 二阶项		-105.4		dB
	$f_a = 1kHz$, $f_b = 1.1kHz$, 三阶项		-112.7		dB
通道隔离度	未选中通道的 f_{IN} 不超过 100 kHz		-110		dB
直流精度					
DNL	16bit		±0.9		LSB
INL	16bit		±0.99	±2	LSB
PFS	外部基准电压源		±8	±32	LSB
	内部基准电压源		±8		LSB
PFS 匹配	±10V 范围		2		LSB
	±5V 范围		4		LSB
PFS 漂移	外部基准电压源		3		ppm/°C
	内部基准电压源		7		ppm/°C
NFS	外部基准电压源		±8	±32	LSB
	内部基准电压源		±8		LSB
NFS 匹配	±10V 范围		2		LSB
	±5V 范围		4		LSB
NFS 漂移	外部基准电压源		3		ppm/°C
	内部基准电压源		7		ppm/°C
零代码误差	±10V 范围		±1	±6	LSB
	±5V 范围		±3		LSB

参数	测试条件	最小值	典型值	最大值	单位
零代码误差匹配	±10V 范围		1		LSB
	±5V 范围		6		LSB
零代码误差漂移	±10V 范围		10		μV/°C
	±5V 范围		5		μV/°C
模拟输入滤波器					
全功率带宽	-3dB, ±10V 范围		20.6		kHz
	-3dB, ±5V 范围		13.3		kHz
	-0.1dB, ±10V 范围		4.4		kHz
	-0.1dB, ±5V 范围		2		kHz
群延迟	±10V 范围		11		us
	±5V 范围		15		us
模拟输入					
模拟输入电流	输入电压 10V		6.67		μA
输入阻抗			1		MΩ
基准电压输入/输出					
基准输入电压范围		2.475	2.5	2.525	V
基准输出电压	REFIN/REFOUT		2.5		V
基准源温度系数			±7		ppm/°C
电源功耗					
AVCC 电流	关断模式		0.07		μA
	待机模式		5.77		mA
	静态模式		16.35		mA
	转换模式, fs = 200kSPS		26.29		mA

时序规格

除非另有说明，芯片工作在要求温度范围以内，AVCC = 4.75V 至 5.25V，VDRIVE = 1.7V 至 5.25V，V_{REF} = 2.5V 内部/外部基准。

通用时序规格

参数	描述	最小值	典型值	最大值	单位
t _{CYCLE}	1/最大吞吐率	1			μs
t _{LP_CNV}	最短 CONVSTx 低电平脉冲。	10			ns
t _{HP_CNV}	最短 CONVSTx 高电平脉冲。	10			ns
t _{D_CNV_BSY}	CONVSTx 高电平到 BUSY 高电平。			25	ns
t _{S_BSY}	BUSY 下降沿到 \overline{CS} 下降沿信号建立时间。	0			ns
t _{D_BSY}	最后 \overline{CS} 上升沿与 BUSY 下降沿之间的最长时间。	25			ns
t _{DEVICE_SETUP}	RESET 低电平到 CONVSTx 高电平之间的最短延迟时间。	25			ns
t _{CNV_DLY}	CONVSTA/B 上升沿之间最大容许延迟时间。			0.5	ms
t _{CONV}	转换时间，OS = 0		3		μs
	转换时间，OS = 2		8		μs
	转换时间，OS = 4		18		μs
	转换时间，OS = 8		38		μs
	转换时间，OS = 16		78		μs
	转换时间，OS = 32		158		μs
	转换时间，OS = 64		318		μs
t _{RESET}	RESET 高电平脉冲宽度。	50			ns
t _{WAKE-UP_STANDBY}	\overline{STBY} 上升沿到 CONVSTx 上升沿（从待机模式上电时间）。	1			μs
t _{WAKE-UP_SHUTDOWN}	内部基准， \overline{STBY} 上升沿到 CONVSTx 上升沿（从关断模式上电时间）。	200 ¹			ms
	外部基准， \overline{STBY} 上升沿到 CONVSTx 上升沿（从关断模式上电时间）。	12			ms

1: 负载 10μF 电容。

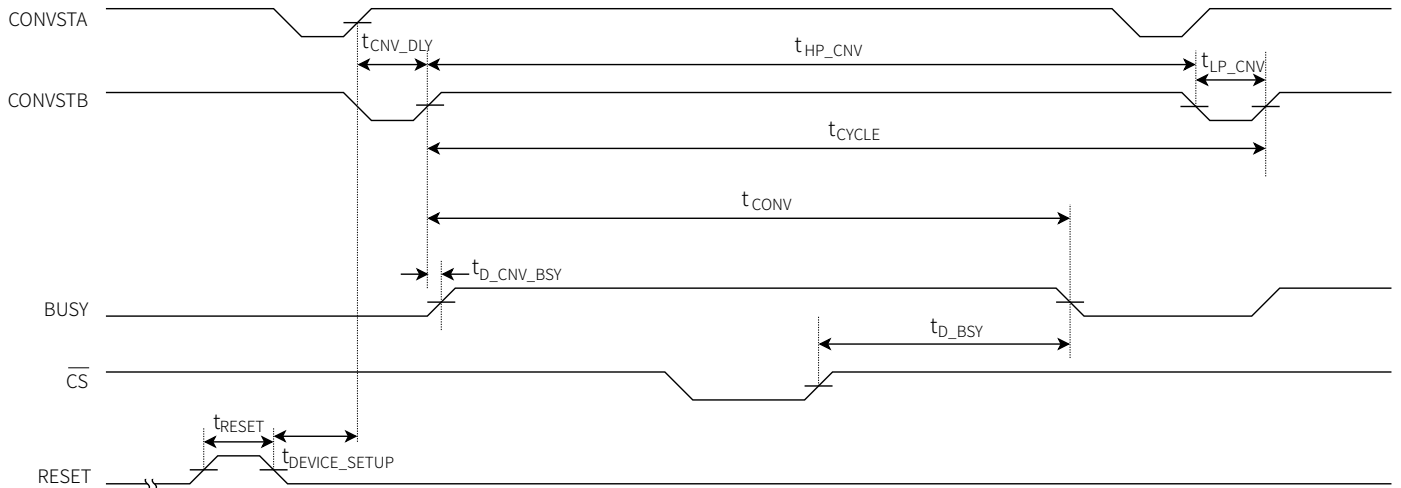


图 2 CONVST 时序-转换期间读取

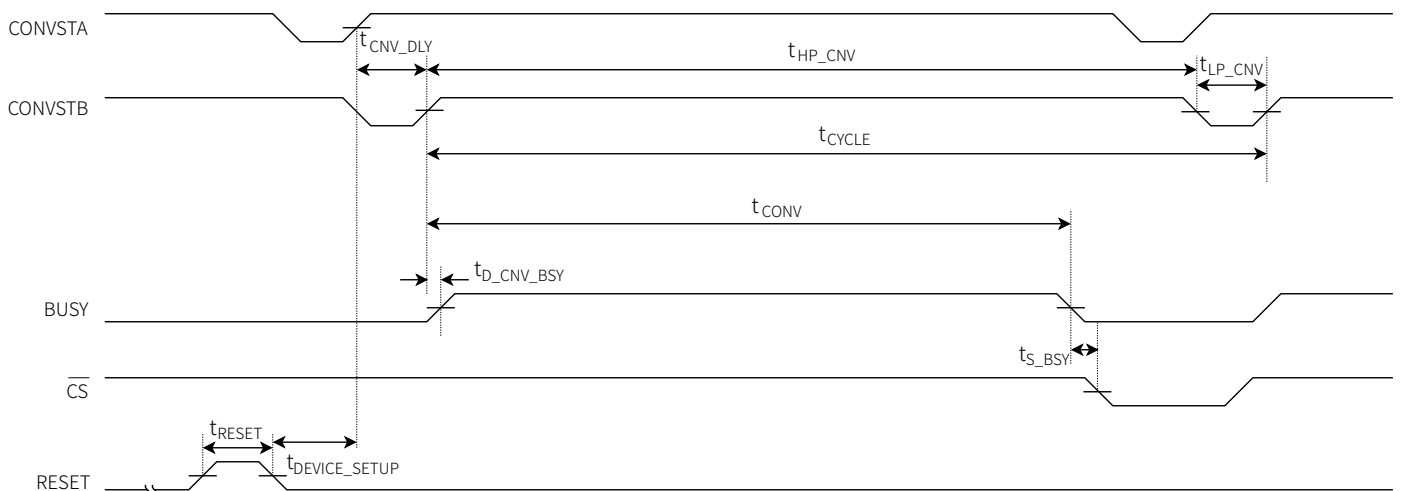


图 3 CONVST 时序-转换之后读取

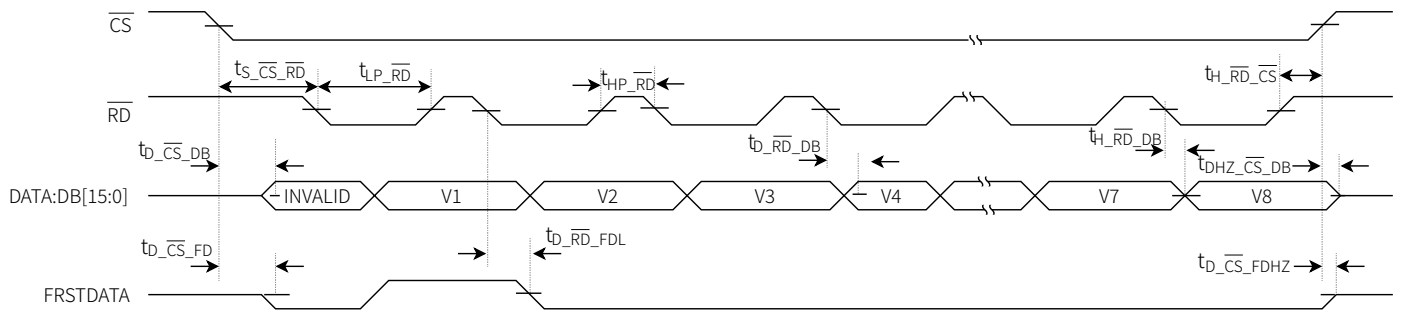
FRSTDATA 时序规格

参数	描述	最小值	典型值	最大值	单位
$t_{D_CS_FD}$	\overline{CS} 下降沿到 FRSTDATA 的变化。		10	15	ns
$t_{D_RD_FDL}$	从 \overline{RD} 下降沿到 FRSTDATA 低电平的延迟时间。		13	21	ns
$t_{D_SCK_FDL}$	从第 16 个 SCLK 下降沿到 FRSTDATA 低电平的延迟时间。		13	21	ns
$t_{D_CS_FDHZ}$	\overline{CS} 上升沿到 FRSTDATA 高阻的延迟时间。		10	15	ns

并行模式时序规格

参数	描述	最小值	典型值	最大值	单位
$t_{S_CS_RD}$	\overline{CS} 下降沿到 \overline{RD} 下降沿所需信号建立时间。	0			ns
$t_{H_RD_CS}$	\overline{RD} 上升沿到 \overline{CS} 上升沿所需信号保持时间。	0			ns

参数	描述	最小值	典型值	最大值	单位
t_{HP_RD}	\overline{RD} 高电平脉冲宽度。	17			ns
t_{LP_RD}	\overline{RD} 低电平脉冲宽度。				
	VDRIVE > 5.25V。	23			ns
	VDRIVE > 3.3V。	25			ns
	VDRIVE > 2.3V。	29			ns
t_{LP_RD}	VDRIVE > 1.7V。	36			ns
	\overline{CS} 高电平脉冲宽度。	22			ns
	\overline{CS} 有效到数据位有效延迟。				
	VDRIVE > 5.25V。		15	23	ns
$t_{D_CS_DB}$	VDRIVE > 3.3V。		16	25	ns
	VDRIVE > 2.3V。		18	29	ns
	VDRIVE > 1.7V。		23	36	ns
	\overline{RD} 下降沿后的数据访问时间。				
$t_{D_RD_DB}$	VDRIVE > 5.25V。		15	23	ns
	VDRIVE > 3.3V。		16	25	ns
	VDRIVE > 2.3V。		18	29	ns
	VDRIVE > 1.7V。		23	36	ns
$t_{H_RD_DB}$	\overline{RD} 下降沿后数据保持时间。	5			ns
$t_{DHZ_CS_DB}$	\overline{CS} 上升沿到数据无效保持时间。			22	ns


 图 4 并行模式，独立的 \overline{CS} 和 \overline{RD} 脉冲

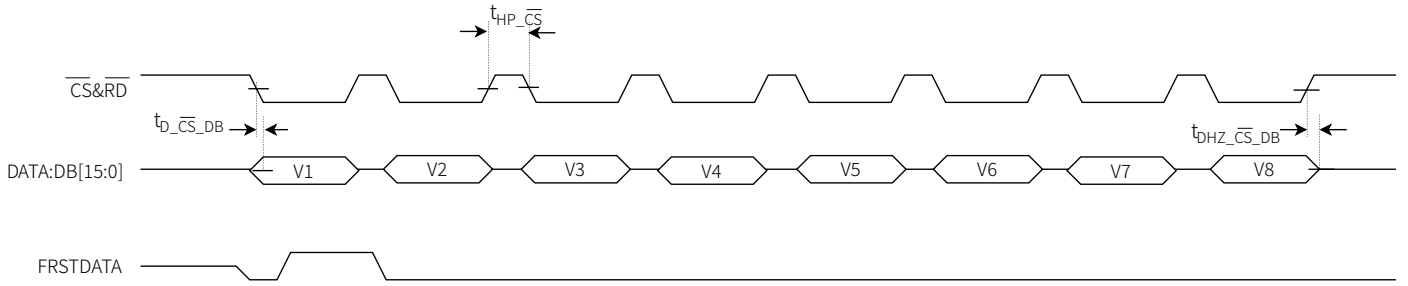


图 5 并行模式， \overline{CS} 和 \overline{RD} 相连

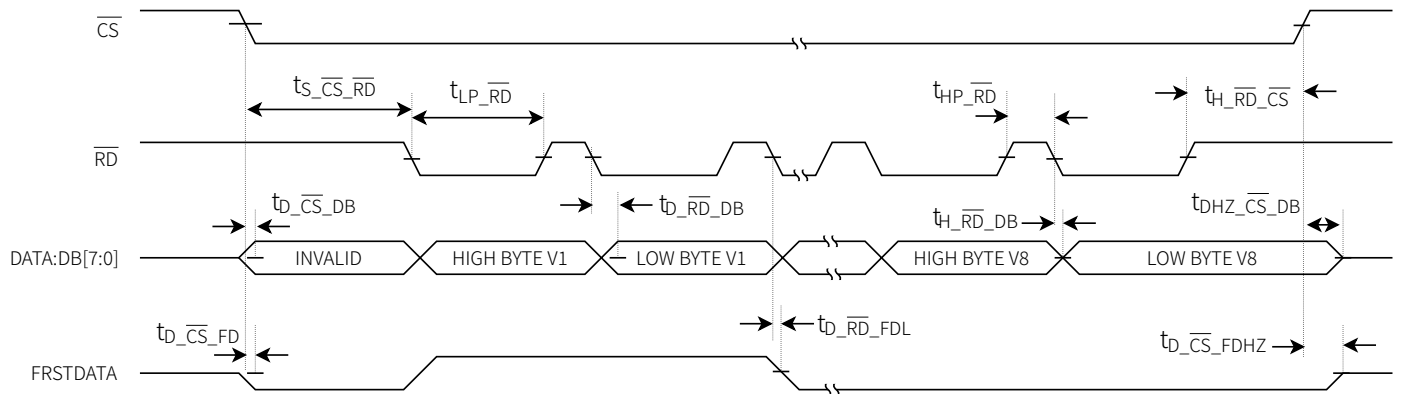


图 6 字节模式读取操作

串行模式时序规格

参数	描述	最小值	典型值	最大值	单位
f_{SCLK}	串行时钟频率, $f_{SCLK} = 1/t_{SCLK}$				
	$V_{DRIVE} > 5.25V_0$			20	MHz
	$V_{DRIVE} > 3.3V_0$			16	MHz
	$V_{DRIVE} > 2.3V_0$			14	MHz
	$V_{DRIVE} > 1.7V_0$			11	MHz
t_{LP_SCK}	SCLK 低电平脉冲宽度。	$0.4t_{SCLK}$			ns
t_{HP_SCK}	SCLK 高电平脉冲宽度。	$0.4t_{SCLK}$			ns
$t_{D_CS_DO}$	\overline{CS} 有效到数据有效的延迟。				
	$V_{DRIVE} > 5.25V_0$		8	13	ns
	$V_{DRIVE} > 3.3V_0$		9	14	ns
	$V_{DRIVE} > 2.3V_0$		12	18	ns
	$V_{DRIVE} > 1.7V_0$		17	26	ns

参数	描述	最小值	典型值	最大值	单位
$t_{D_SCK_DO}$	SCLK 上升沿后数据访问时间。				
	VDRIVE > 5.25V。		14	20	ns
	VDRIVE > 3.3V。		15	24	ns
	VDRIVE > 2.3V。		18	28	ns
	VDRIVE > 1.7V。		23	36	ns
$t_{H_SCK_DO}$	SCLK 上升沿后数据的保持时间。	5			ns
$t_{DHZ_CS_DO}$	\overline{CS} 上升沿到数据不定态的延迟时间。		18	27	ns
$t_{S_CS_SCLK}$	\overline{CS} 下降沿到 SCLK 下降沿的建立时间	2			ns
$t_{H_SCLK_CS}$	SCLK 上升沿到 \overline{CS} 上升沿的保持时间	3			ns

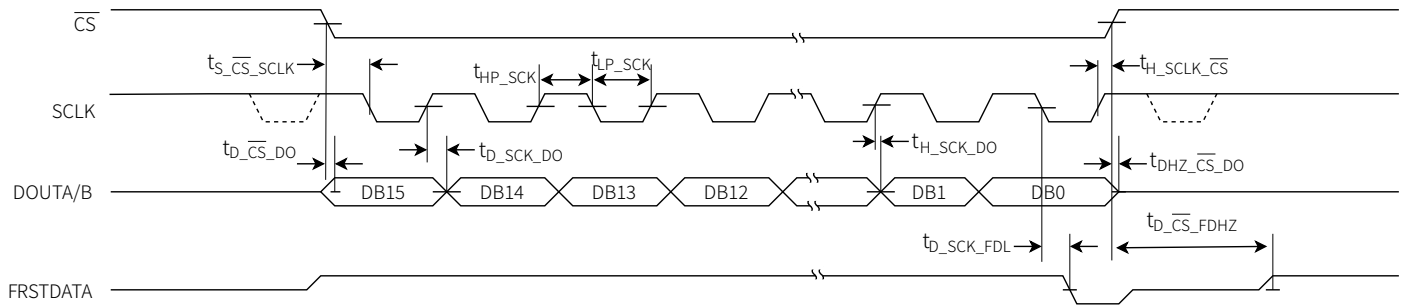


图 7 串行读取操作

典型特征

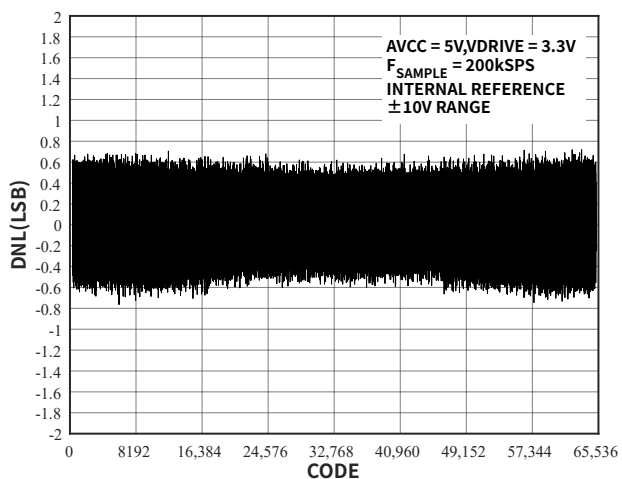


图 8 典型 DNL 误差, ±10V 范围

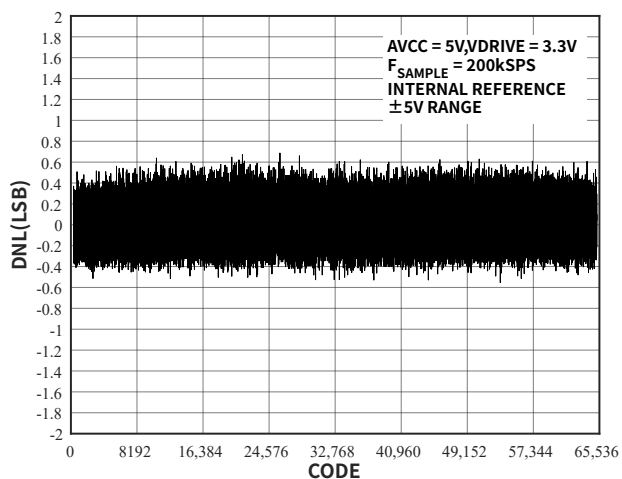


图 9 典型 DNL 误差, ±5V 范围

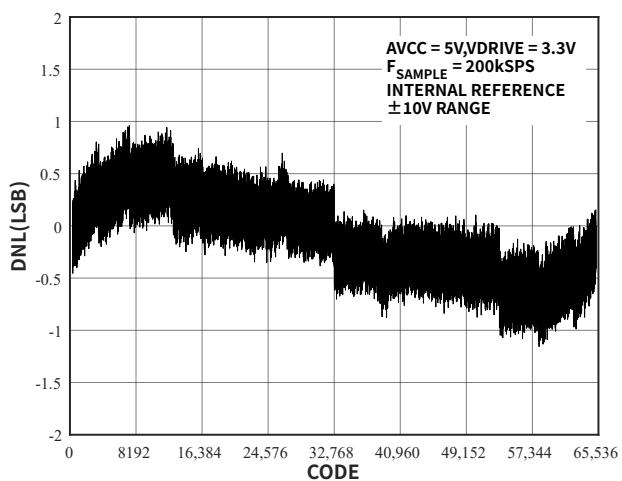


图 10 典型 INL 误差, ±10V 范围

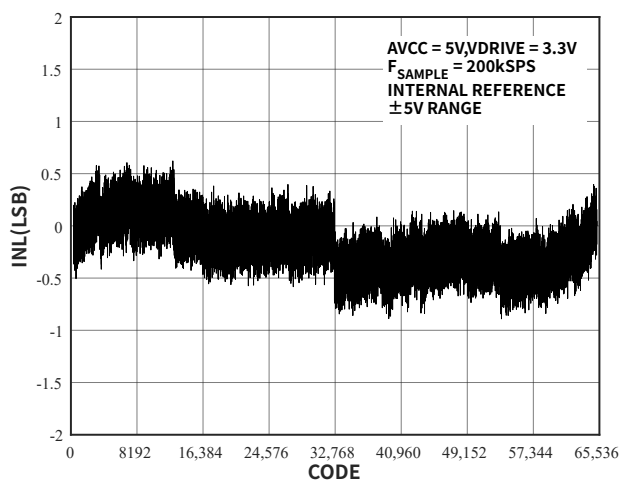


图 11 典型 INL 误差, ±5V 范围

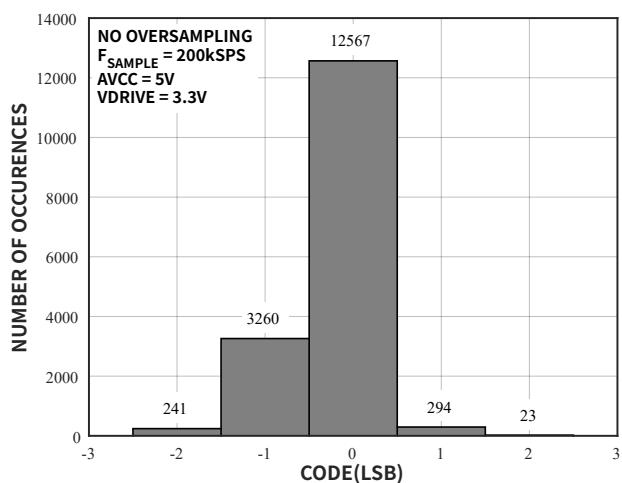


图 12 零输入直方图-No OS

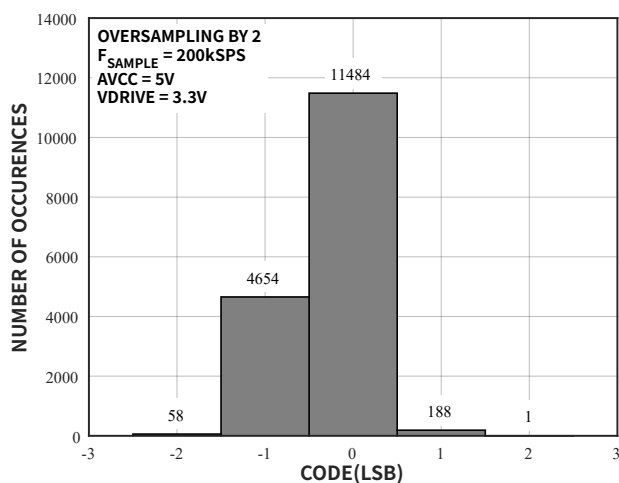


图 13 零输入直方图-OS×2

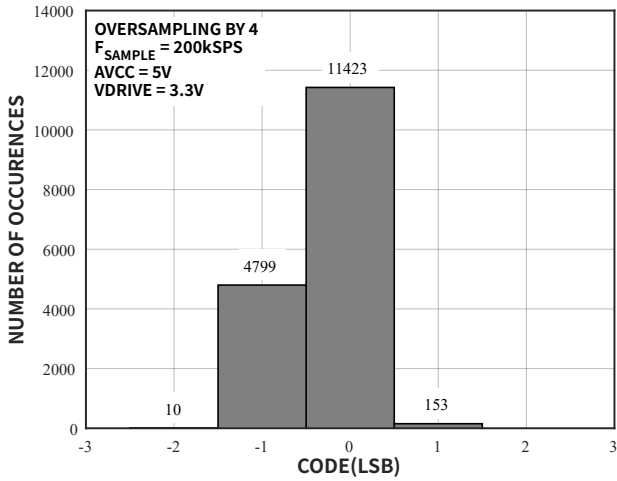


图 14 零输入直方图-OS×4

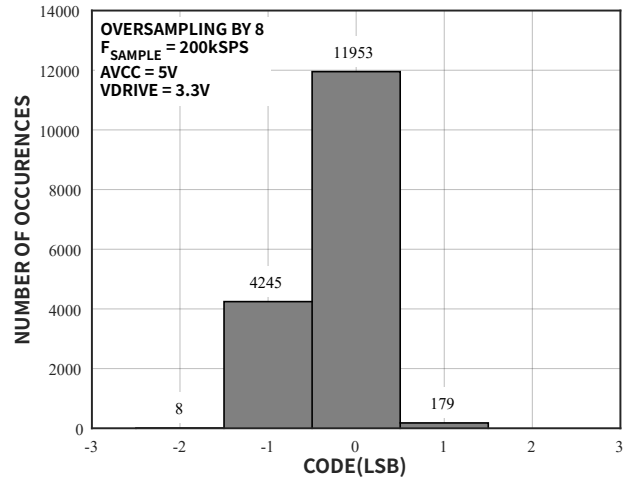


图 15 零输入直方图-OS×8

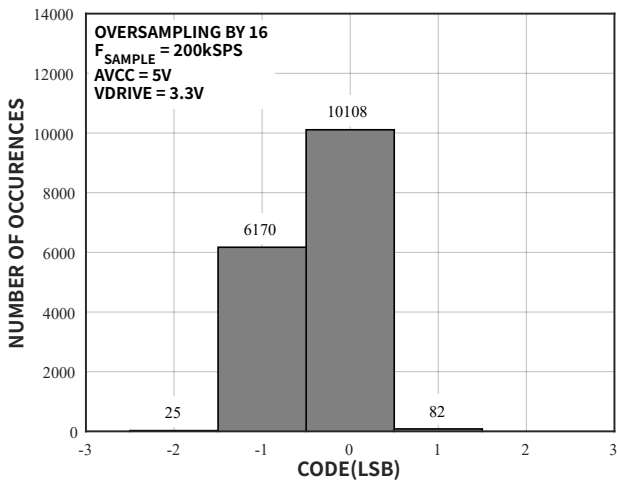


图 16 零输入直方图-OS×16

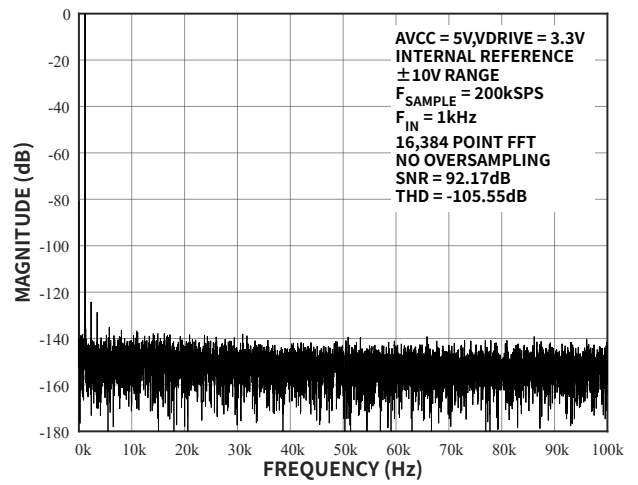


图 17 FFT, ±10V 范围

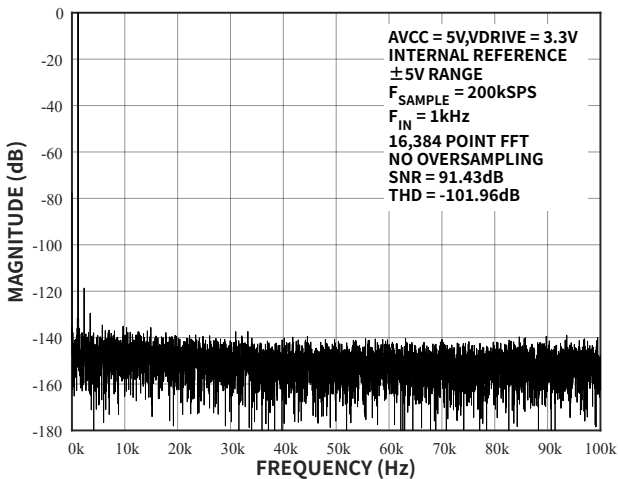


图 18 FFT, ±5V 范围

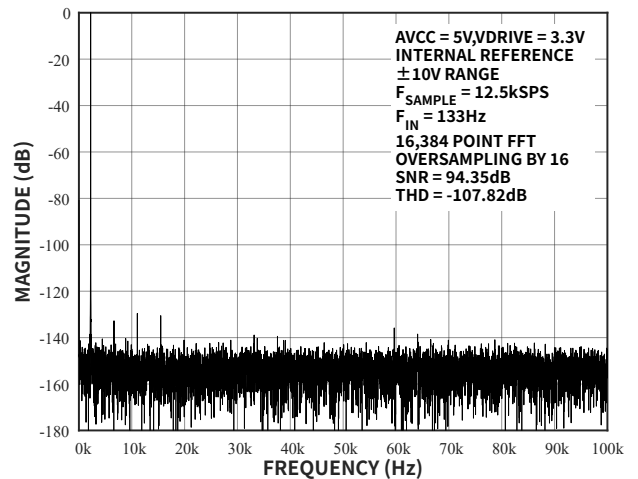


图 19 FFT 过采样(16), ±10V 范围

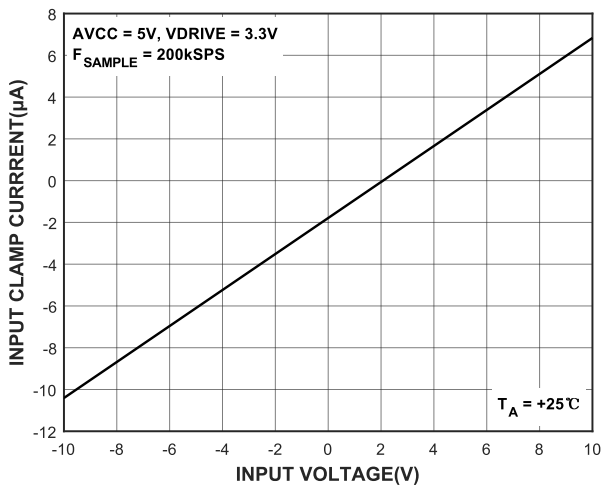


图 20 模拟输入电流与输入电压的关系

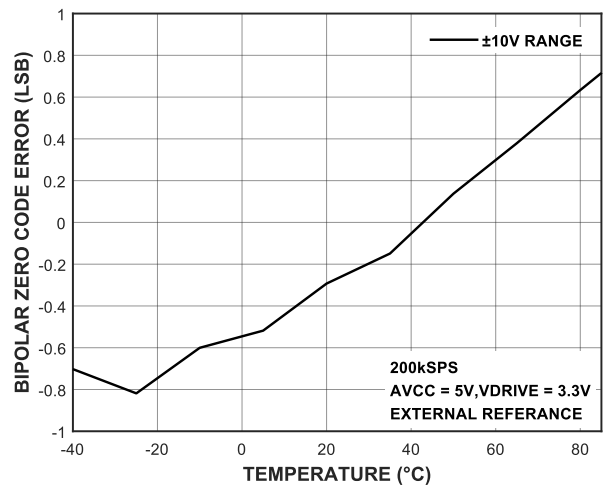


图 21 双极性零输入误差的温度特性

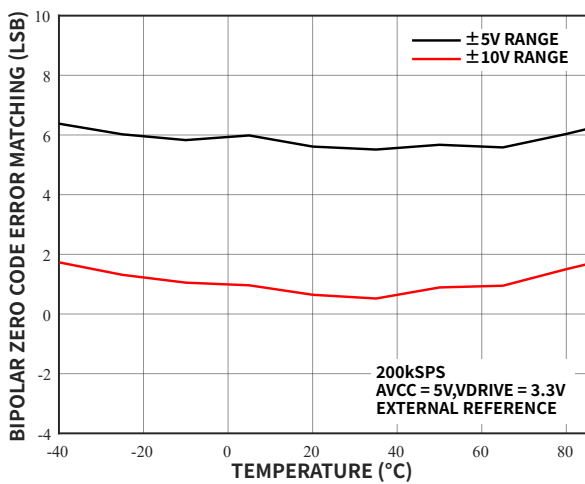


图 22 双极性零输入误差匹配的温度特性

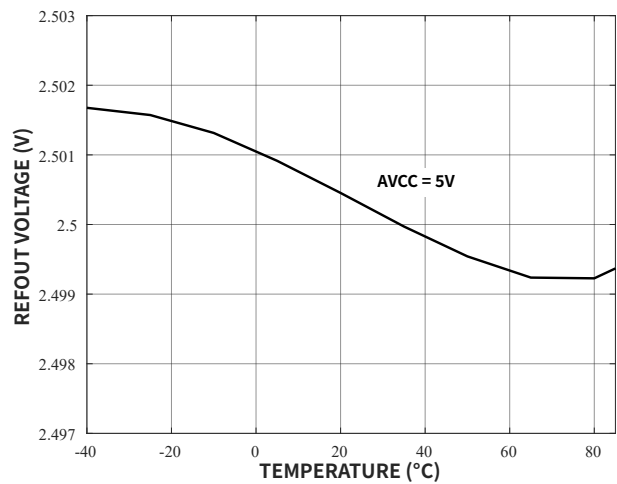


图 23 基准电压温度漂移

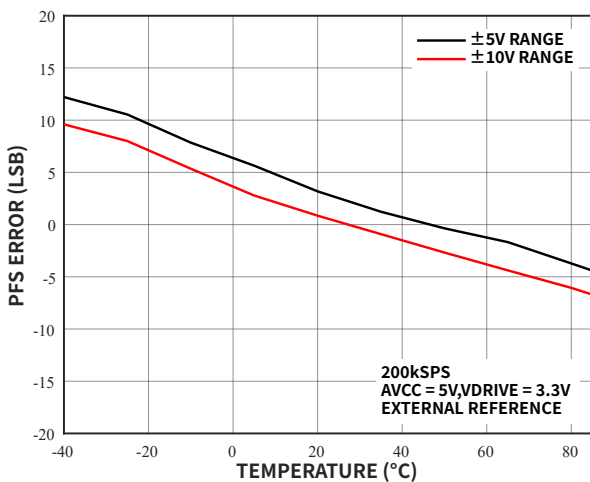


图 24 PFS 误差的温度特性

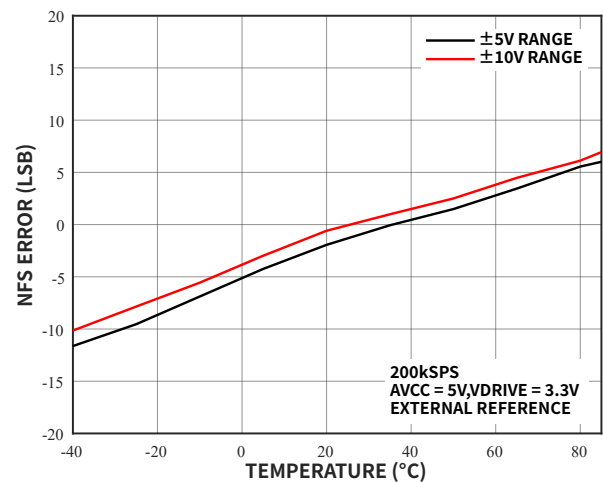


图 25 NFS 误差的温度特性

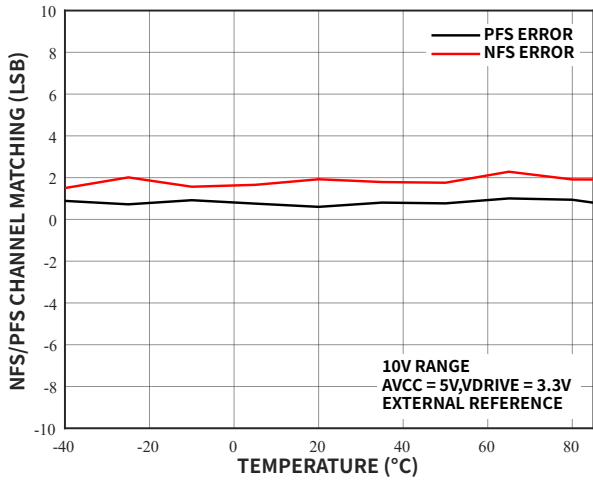


图 26 PFS/NFS 误差匹配的温度特性

工作原理

CM2248 是一款采用高速、低功耗逐次逼近型 (SAR) 模数转换器的数据采集系统，可以分别对多至 8 个模拟输入通道进行同步采样，通过配置 RANGE 管脚，可选择 $\pm 5V$ 或者 $\pm 10V$ 的输入范围。CM2248 采用单电源供电，但其所有模拟输入通道均可以接受真双极性输入信号。

芯片内置输入钳位保护、可编程放大器、二阶抗混叠滤波器、采样保持放大器、内部基准电压、基准电压缓冲器、高速 ADC、数字滤波器以及高速并行和串行接口。通过 CONVST 信号控制 CM2248 的采样过程。

模拟输入

输入范围

CM2248 可处理真双极性的单端输入信号，可通过 RANGE 管脚来配置模拟输入通道的电压范围。RANGE 为高电平时，则所有模拟输入电压范围为 $\pm 10V$ ；RANGE 为低电平时，则所有模拟输入电压范围为 $\pm 5V$ 。RANGE 管脚逻辑状态的改变会立即影响模拟通道的输入范围，在改变 RANGE 管脚逻辑状态的后，要预留 $80\mu s$ 典型值的信号建立时间，再进行下次采样。

输入阻抗

CM2248 的模拟输入阻抗均为 $1M\Omega$ 的固定输入阻抗，不随芯片采样频率的变化而变化。高模拟输入阻抗可消除前端驱动放大器的需求，使其可以直接连接至信号源或传感器。该特性可以大大简化客户的硬件设计。

钳位保护

下图所示的各通道模拟输入均含有钳位保护电路。芯片在单 5V 供电的情况下，其模拟输入通道允许过压达到 $\pm 18.5V$ 。

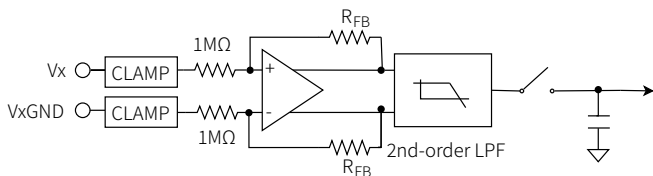


图 27 模拟输入电路

图 28 显示了钳位电路的电压电流特性曲线。当输入电压不超过 $\pm 18.5V$ 时，钳位电路不会开启。当输入电压超过 $\pm 18.5V$ 时，钳位电路开启，模拟通道输入电流快速增加。

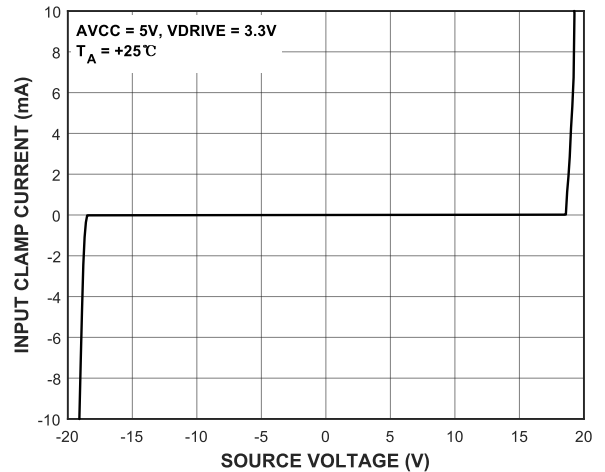


图 28 输入钳位电路 V-I 特性曲线

对于输入电压超过 $\pm 18.5V$ 的应用，可以在外部串联电阻解决。值得注意的是，如果模拟输入通道 V_x 上添加了一个串联电阻，则其对应的模拟输入 GND 管脚， V_xGND 上也需要串联一个与之相等的电阻。如果不添加这个电阻，该通道将出现额外的失调误差。

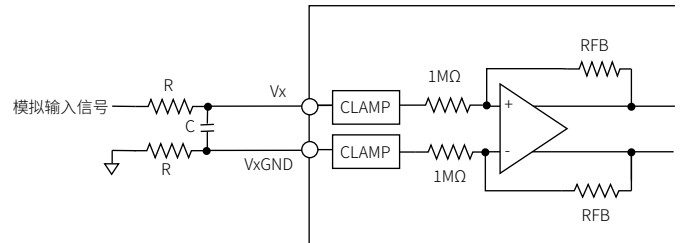


图 29 模拟输入端上输入电阻匹配

抗混叠滤波器

CM2248 还提供了模拟抗混叠滤波器。在 $\pm 5V$ 的范围内， $-3dB$ 带宽的典型值为 $13.3kHz$ ，在 $\pm 10V$ 的范围内， $-3dB$ 带宽典型值为 $20.6kHz$ 。

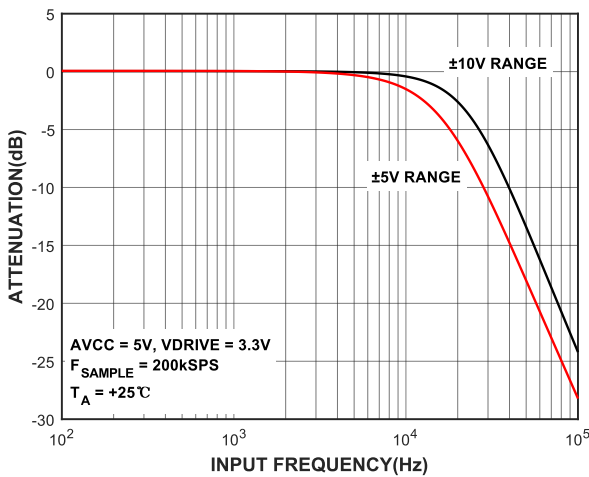


图 30 模拟抗混叠滤波器幅频特性

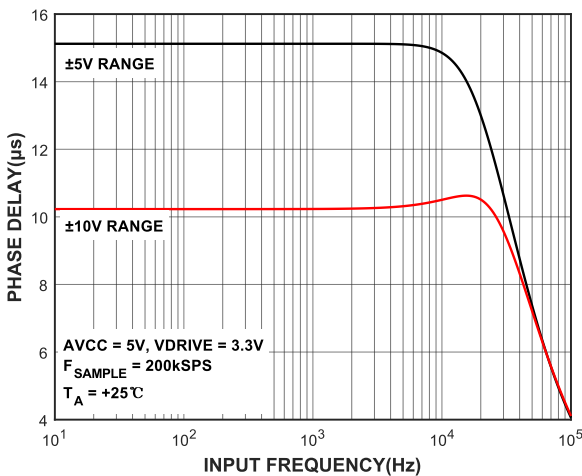


图 31 模拟抗混叠滤波器相频特性

也允许从外部施加一个 2.5V 的基准电压。REF_SELECT 管脚允许用户选择使用内部基准抑或是外部基准电压。如果此管脚设置为逻辑高，则选择并使能内部基准电压；如果此管脚设置为逻辑低电平，内部基准电压将被禁用，必须从外部施加一个基准电压到 REFIN/REFOUT 管脚。无论使用内部基准还是外部基准模式，都需要在 REFIN/REFOUT 管脚连接去耦电容，一般需要 10μF 的陶瓷去耦电容。CM2248 内置了一个基准电压缓冲器，缓冲器可以将基准电压放大至约 4V。REFCAPA 和 REFCAPB 管脚必须外部短路在一起，并在尽量靠近芯片的位置放置一个 10μF 的陶瓷去耦电容，通过电容将这两个管脚连接至 REFGND，以确保基准电压缓冲器正常工作。

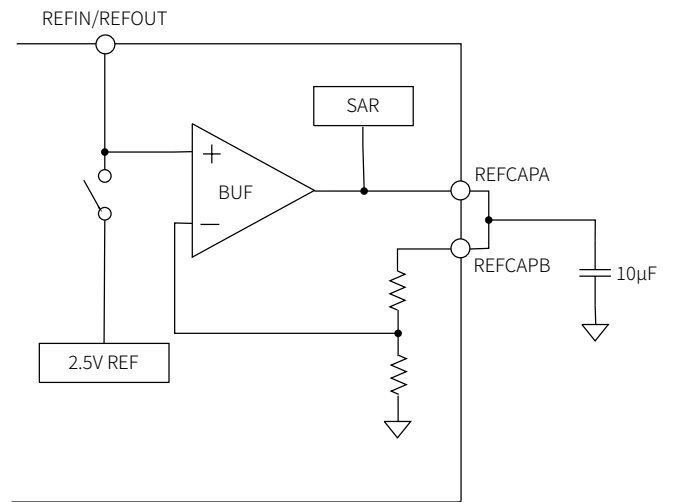


图 32 基准电压电路

采样保持放大器

CM2248 的采样保持放大器可使 ADC 精确采集满量程幅值的输入正弦波。采样保持放大器在 CONVSTx 上升沿的时候完成对各自输入信号的同步采样，随后进入信号保持阶段。在整个转换期间，采样保持放大器都处于信号保持阶段，直到所有 8 个通道的转换过程已经全部结束，BUSY 的下降沿使得采样保持放大器重新回到采样阶段。

采样保持电路使得在转换期间进行数据的读取几乎不会影响 ADC 的性能，同时有助于实现更快的数据吞吐速率。但是在 VDRIVE 较高同时采用并行接口时，在转换期间读取数据可能会略微降低 ADC 的 SNR 性能。

内部/外部基准

CM2248 内置了一个 2.5V 的 Bandgap 基准电压源。REFIN/REFOUT 管脚既可以使用该 2.5V 的基准电压，

多芯片并联外部基准电压模式

对于使用多个 CM2248 器件的应用，如果采用外部基准电压，可以使用一个外部基准电压源驱动所有 CM2248 器件的 REFIN/REFOUT 管脚。如图所示，建议每一个 CM2248 的 REFIN/REFOUT 管脚都应使用至少一个 100nF 的去耦电容。

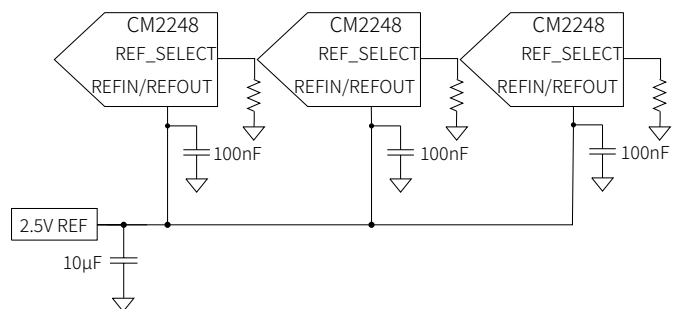


图 33 一个外部基准电压源驱动多个 CM2248

多芯片并联内部基准电压模式

当芯片配置为内部基准电压模式，其内部基准电压输出可以作为其余 CM2248 器件的外部基准源。其中，配置为内部基准电压模式的 CM2248 应采用一个 10μF 的陶瓷电容对其 REFIN/REFOUT 管脚去耦。配置为外部基准电压模式的其他 CM2248 器件，在每个 REFIN/REFOUT 管脚上，都应至少采用一个 100nF 的去耦电容。

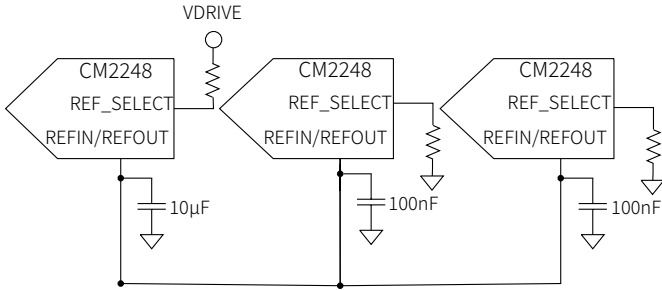


图 34 内部基准电压源驱动多个 CM2248

$$\pm 10V \text{ CODE} = \frac{V_{IN}}{10V} \times 32768 \times \frac{2.5V}{REF}$$

$$\pm 5V \text{ CODE} = \frac{V_{IN}}{5V} \times 32768 \times \frac{2.5V}{REF}$$

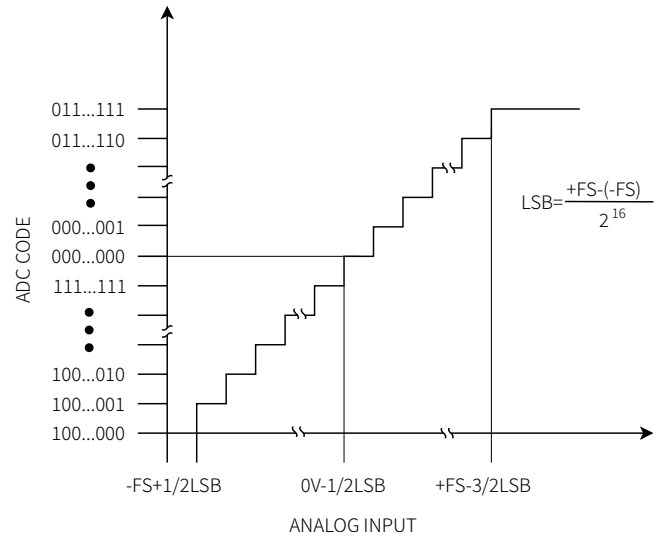


图 35 传递特性

ADC 传递函数

CM2248 的 LSB 大小取决于 FSR 的大小，即 FSR/65536，其输出转换值的编码方式为二进制补码。

ADC 在 ±10V RANGE、±5V RANGE 的传递函数为：

RANGE	+FS	MIDSCALE	-FS	LSB
±10V	+10V	0V	-10V	305μV
±5V	+5V	0V	-10V	152μV

功能与模式

功耗模式

CM2248 有四种功耗模式：转换模式、静态模式、待机模式和关断模式。

转换模式下，8 个通道 ADC 同时进行转换，此时为芯片的最大功耗模式，典型功耗为 131.5mW。

转换完成后，芯片进入静态模式，ADC 处于低功耗状态，但采样电路仍然保持在工作状态，以便能够随时响应 CONVST 信号立即进入转换模式。静态模式下功耗略有降低，典型功耗为 81.8mW。

$\overline{\text{STBY}}$ 管脚接低电平，RANGE 管脚接高电平时，进入待机模式，ADC 和采样电路都处于低功耗状态，芯片整体功耗进一步降低，典型值为 28.9mW。从待机模式退出后，内部电路需要 100 μs 的建立时间，然后进入静态模式。

$\overline{\text{STBY}}$ 管脚和 RANGE 管脚都接低电平时，进入关断模式，大部分电路模块均关断，此时芯片的典型功耗为 0.35 μW 。从关断模式退出后需要 12ms 的等待时间才可以开始进行正常的转换功能。

表 2 显示了不同功耗模式的配置情况。

表 2 功耗模式选择

功耗模式	$\overline{\text{STBY}}$	RANGE
转换	1	X
静态	1	X
待机	0	1
关断	0	0

转换控制

CONVSTA 的上升沿用于通道 V1 至 V4 的同步采样控制，CONVSTB 的上升沿用于通道 V5 至 V8 的同步采样控制。基于这种分组控制逻辑，用户可选择对 8 个通道进行同步采样，此时应将 CONVSTA 和 CONVSTB 两个管脚连接在一起，同时给予上升沿激励。用户也可以对两组通道进行独立采样，分别在不同时刻给予 CONVSTA 和 CONVSTB 上升沿。通过对 CONVSTA 和 CONVSTB 的时间间隔控制，实现对采样信号的相位补偿。只有当两个 CONVST 信号均已收到上升沿激励后，BUSY 才会变为高电平，表示转换开始。在此独立采样模式下，不可使用过采样功能。时序如图 36 所示。

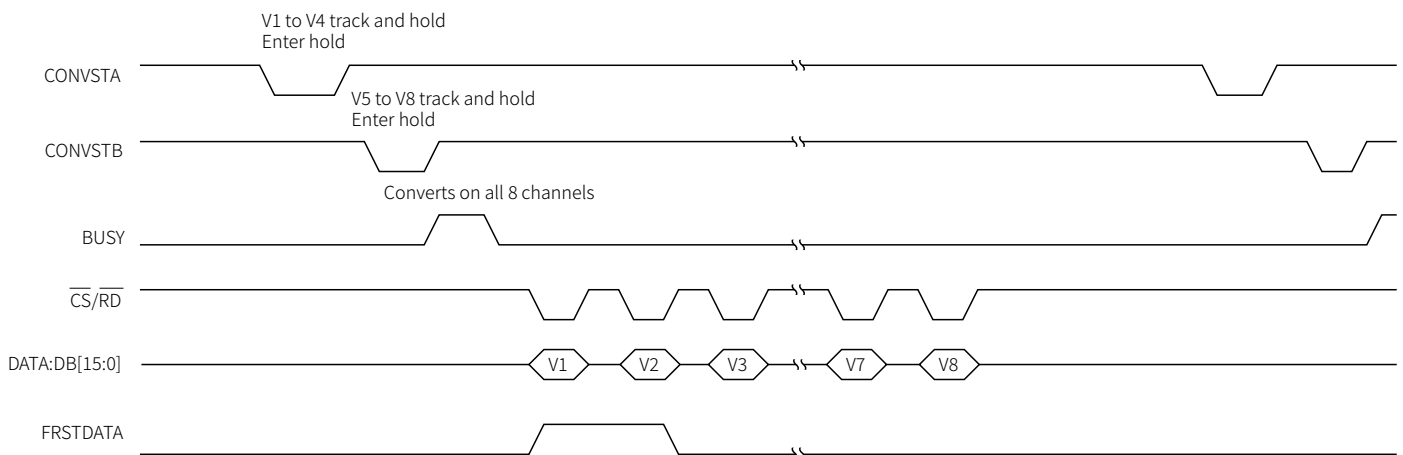


图 36 CONVSTA 和 CONVSTB 分别进行同步采样

数字接口

CM2248 提供三种接口选项：并行接口、高速串行接口和并行字节接口。所需接口模式可通过 $\overline{\text{PAR}}/\text{SER}/\text{BYTE_SEL}$ 和 DB15/ BYTE_SEL 管脚来选择，见表 3。

表 3 接口模式选择

$\overline{\text{PAR}}/\text{SER}/\text{BYTE_SEL}$	DB15	接口模式
0	-	并行接口模式
1	0	串行接口模式
1	1	并行字节接口模式

并行接口

可以用标准 $\overline{\text{CS}}$ 和 $\overline{\text{RD}}$ 信号通过并行数据总线从 CM2248 读取数据。 $\overline{\text{CS}}$ 输入信号上升沿使并行数据总线进入高阻态，下降沿则使总线脱离高阻状态。 $\overline{\text{RD}}$ 管脚用来从转换结果寄存器中读取数据，对 CM2248 的 $\overline{\text{RD}}$ 管脚施加低脉冲序列，可使各通道的转换结果按照通道序号逐个输出到并行总线 DB[15:0]。

BUSY 信号变为低电平后，第一个 $\overline{\text{RD}}$ 下降沿，并行总线上将输出通道 V1 的转换结果，下一个 $\overline{\text{RD}}$ 下降沿则将在总线上输出 V2 通道的转换结果，依此类推。

并行模式下，FRSTDATA 表示何时回读第一个转换通道 V1 的结果。第一个 $\overline{\text{RD}}$ 下降沿，FRSTDATA 变为高电平，在 V1 的结果全部读取完毕后，恢复低电平。

串行接口

CM2248 有两个串行数据输出管脚：DOUTA 和 DOUTB。DOUTA 顺序输出通道转换数据，即按 V1、V2、V3、V4、V5、V6、V7、V8 的顺序输出；DOUTB

则是按照 V5、V6、V7、V8、V1、V2、V3、V4 的顺序输出转换数据。

$\overline{\text{CS}}$ 下降沿使数据线路 DOUTA 和 DOUTB 脱离高阻态，随后的 SCLK 上升沿则依次将所有数据位逐个送至对应的串行总线输出。可以使 $\overline{\text{CS}}$ 输入在整个串行读取的过程中拉低，也可以通过低脉冲的方式，以 16 个 SCLK 周期为一帧，逐帧读取。

可以仅用一路 DOUT，通过 8 帧读取所有通道的转换数据，这种情况下，建议用 DOUTA 访问所有转换数据。也可以双路同时读取，这样 4 帧读取即可完成所有通道的转换数据，此时 DOUTA 依次输出 V1、V2、V3、V4 的数据转换结果，DOUTB 依次输出 V5、V6、V7、V8 的数据转换结果。

FRSTDATA 输出信号指示何时回读第一通道 V1 的转换结果。在串行模式下， $\overline{\text{CS}}$ 下降沿使 FRSTDATA 脱离高阻态，并将 FRSTDATA 管脚设为高电平。在第 16 个 SCLK 下降沿后，FRSTDATA 输出恢复逻辑低电平。

并行字节接口

并行字节接口模式的工作原理与并行接口模式非常相似，不过各通道的转换结果是分两次 8 位传输读出。因此，读取 CM2248 所有通道的转换结果需要 16 个 $\overline{\text{RD}}$ 脉冲。

在并行字节输出模式下，DB[7:0] 用来将数据并行输出，DB14 充当 HBEN 管脚。当 DB14/HBEN 被设置为逻辑高电平时，CM2248 将首先输出转换数据的高字节 (MSB)，然后输出低字节 (LSB)。当 DB14/HBEN 设置为逻辑低电平时，则首先输出转换结果的低字节。

并行字节接口模式下，FRSTDATA 在读取 V1 通道的 MSB 和 LSB 数据过程中都保持高电平。

应用

典型连接

图 37 显示了 CM2248 的典型连接图。CM2248 有 4 个 AVCC 管脚，应当使用 4 个 100nF 去耦电容分别就近加在 4 个 AVCC 管脚处。4 个 AVCC 连接到一个总电源，并在总电源侧采用一个 10 μ F 去耦电容。

CM2248 既可以在内部基准电压模式下工作，也可以在施加外部基准电压下工作。在图 37 配置中，CM2248

被配置为在内部基准电压下工作。当电路板上只有一个 CM2248 器件时，应采用一个 10 μ F 的电容对其 REFIN/REFOUT 管脚去耦。当应用中使用多个 CM2248 器件时，请参考多芯片并联外部基准电压模式以及多芯片并联内部基准电压模式章节。

REFCAPA 和 REFCAPB 管脚应当短路在一起，并与 REFGND 之间连接一个 10 μ F 的低 ESR 陶瓷去耦电容。

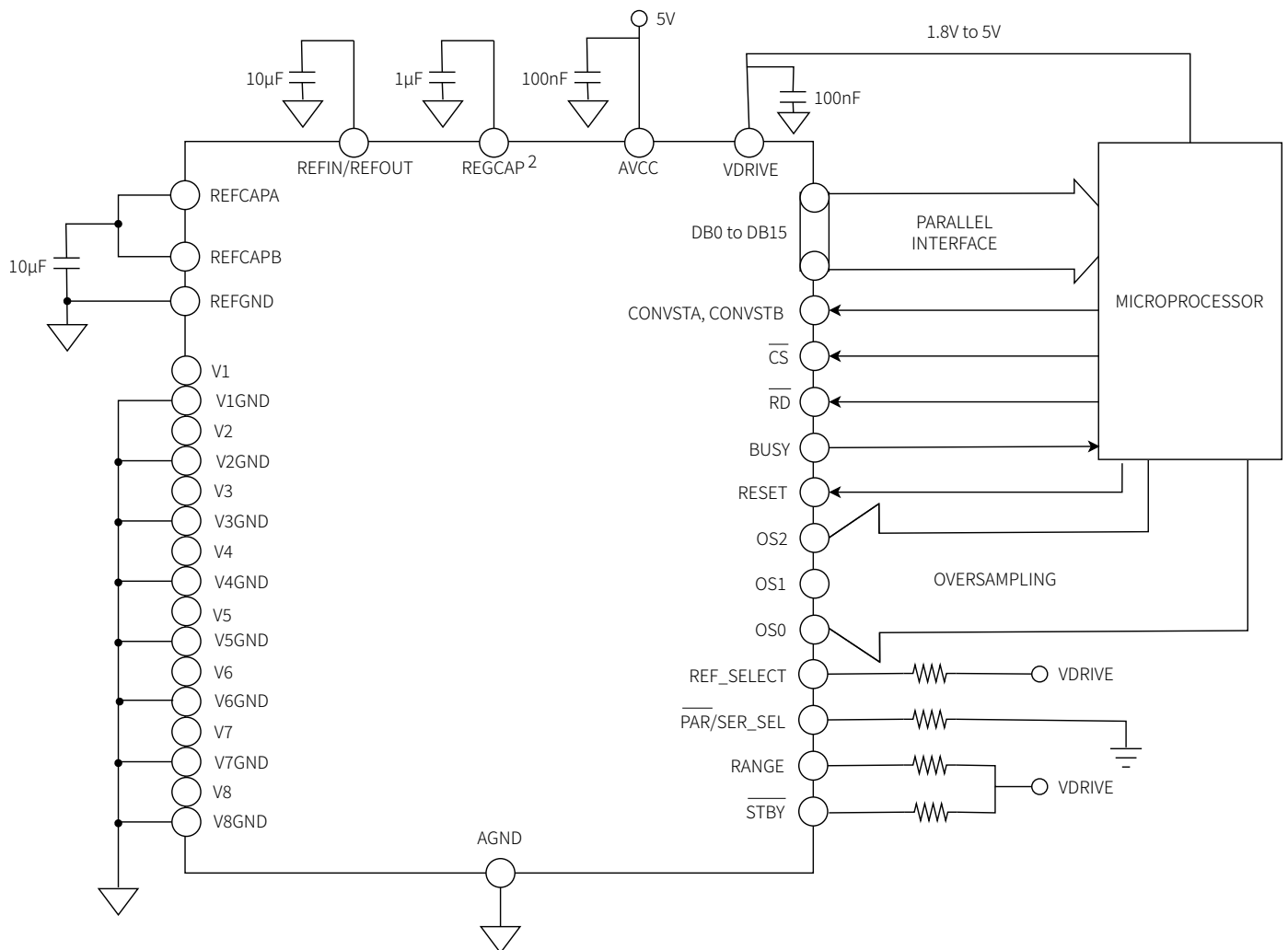


图 37 典型连接

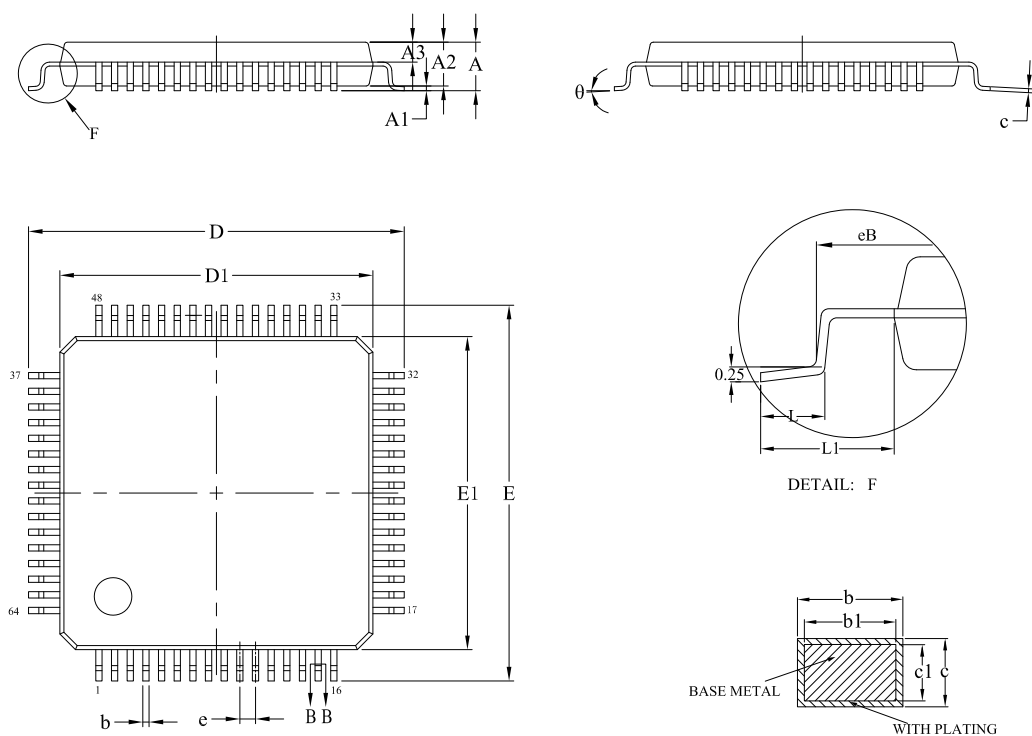
封装及订购信息

封装方式

CM2248 采用 LQFP64 封装。

产品外形图

产品外形图如下图所示。



SYMBOL	MILLIMETER		
	MIN	NOM	MAX
A	—	—	1.60
A1	0.05	—	0.15
A2	1.35	1.40	1.45
A3	0.59	0.64	0.69
b	0.18	—	0.26
b1	0.17	0.20	0.23
c	0.13	—	0.17
c1	0.12	0.13	0.14
D	11.80	12.00	12.20
D1	9.90	10.00	10.10
E	11.80	12.00	12.20

SYMBOL	MILLIMETER		
	MIN	NOM	MAX
E1	9.90	10.00	10.10
e	0.50BSC		
eB	11.05	—	11.25
L	0.45	—	0.75
L1	1.00REF		
θ	0	—	7°

订购信息

型号	温度范围	封装	包装
CM2248-QFPTR	-40°C~+125°C	LQFP64	Tray